

Technische Universität Dresden, 01062 Dresden



Viktor Mechtcherine

Institutsdirektor

Marko. Butler

Arbeitsgruppenleiter Baustofftechnik

Bearbeiter: Dr.-Ing. Marko Butler

Telefon: 0351 4731 356

Telefax: 0351 471 51 69

E-Mail: Marko.Butler@tu-dresden.de

AZ: 5.5.1-16/2009

**Отчет по испытанию материалов с базальтовыми волокнами –  
серия 1 А: Основные свойства цементных систем с тремя типами  
базальтовых волокон и двумя типами щелочестойкого  
стекловолокна, длиной 6 мм.**

## **1. Цель экспериментального исследования**

В серии 1А были исследованы основные механические свойства цементных систем с тремя типами базальтовых волокон и, для сравнения, система без волокон и две системы с двумя типами щелочестойкого стекловолокна. Проводились следующие испытания:

- трехточечный изгиб,
- осевое сжатие.

Выдержка образцов до испытания составляла 14 дней. Длина рубленого базальтового волокна составляла 6,4 мм. Объемное содержание волокна в замесе выбиралось на основании результатов испытаний серии 0.

Для сравнения были взяты два типа щелочестойкого стекловолокна (AR-стекла). Объемное содержание AR-стекла было взято таким же как для базальтового волокна.

## **2. Использованные волокна**

В Табл.1 приведено описание базальтовых волокон и волокон AR-стекла, использованных в работе. Базальтовое волокно произведено компанией Каменный Век. AR-стекло произведено компанией Owens Corning.

*Табл.1 Характеристика базальтовых волокон и AR-стекловолокон.*

| Полное название            | Сокращение | Диаметр, мкм | Длина рубки, мм | Замасливатель                                |
|----------------------------|------------|--------------|-----------------|--|
| <b>Базальтовое волокно</b> |            |              |                 |  |
| BCS 17-1/4"(6.4)-KV05/1    | KV05/1-6.4 | 17           | 6.4             | Гидрофильный/легко диспергируемый            |
| BCS 13-1/4"(6.4)-B1.5      | B1.5-6.4   | 13           | 6.4             | Гидрофильный/медленно диспергируемый         |
| BCS 17-1/4"(6.4)-KV12      | KV12-6.4   | 17           | 6.4             | Гидрофобный                                  |
| <b>AR-стекло</b>           |            |              |                 |  |
| CEMFIL 70/30               | CF70-6     | 16           | 6.0             | Зам-тель неизвестен, легко диспергируемый    |
| CEMFIL 62/2                | CF62-6     | 18           | 6.0             | Зам-тель неизвестен, почти не диспергируемый |

### **3. Состав цементной матрицы**

Цементная матрица, использованная в механических тестах, была та же, что использовалась в серии 0. Эта матрица имеет высокую концентрацию связующего и максимальный размер частиц 1мм. Связующее состоит из цемента марки СЕМ III/B, золы и микросилики (аморфного кремнезема). Количество рубленого базальтового волокна определялось исходя из тестов серии 0 и составляло 0.8 %(об.) для KV05/1, 1.2%(об.) для B1.5 и 0.8%(об.) для KV12. Плотность волокна взята примерно 3 г/см<sup>3</sup> для всех типов.

Количество AR-стекловолокна CF70-6 и CF62-6 было выбрано исходя из максимального объемного содержания базальтовых волокон и составляло 1,2% (об.). Плотность AR-стекловолокон равна 2,7 г/см<sup>3</sup>. Выбранное объемное содержание AR-стекла не является максимальным. В случае волокна CF70-6 объемное содержание может быть повышенено до 1,5%. Для волокна CF62-6 максимальное объемное содержание равно 1,8%.

В качестве пластификатора использовался Glenium ACE 30 (от BASF) для контроля вязкости системы. Количество волокна и пластификатора не учитывалось в объемных расчетах. В Табл.2 приведены составы исследованных композиций.

*Табл.2 Состав исследованных цементных систем (кг/м<sup>3</sup>)*

| Компонент        | M-KV05/1 | M-B1.5 | M-KV12 | M-без вол. | M-CF70 | M-CF62 |
|------------------|----------|--------|--------|------------|--------|--------|
| цемент СЕМ III/B | 539.4    | 539.4  | 539.4  | 539.4      | 539.4  | 539.4  |
| зола             | 242.7    | 242.7  | 242.7  | 242.7      | 242.7  | 242.7  |
| Суспензия        | 53.9     | 53.9   | 53.9   | 53.9       | 53.9   | 53.9   |

| микросилики    |        |        |        |        |        |        |
|----------------|--------|--------|--------|--------|--------|--------|
| Песок 0/1 мм   | 1078.7 | 1078.7 | 1078.7 | 1078.7 | 1078.7 | 1078.7 |
| Вода           | 242.7  | 242.7  | 242.7  | 242.7  | 242.7  | 242.7  |
| Glenium ACE 30 | 8.1    | 4.2    | 5.6    | 2.6    | 4.7    | 3.9    |
| KB05/1-6.4     | 24.0   | -      | -      | -      | -      | -      |
| Б1.5-6.4       | -      | 36.0   | -      | -      | -      | -      |
| KB12-6.4       | -      | -      | 24.0   | -      | -      | -      |
| CF 70-6        | -      | -      | -      | -      | 32.0   | -      |
| CF 62-6        | -      | -      | -      | -      | -      | 32.0   |

#### **4. Изготовление образцов, твердение и условия испытания**

Объем матрицы для каждого испытания был 4,5 л. Для замеса использовался лабораторный миксер производства компании Hobart (Рис.1, Рис.2). Миксер предлагает 3 различных скорости замеса, обозначаемых как I, II и III. Скорость I соответствует 120 об./мин., II – 200 об./мин, III – 380 об./мин. Процедура смешения была следующая:

- Смешение цемента и золы, скорость I, в течение 10 сек
- Добавление воды, скорость I, 30 сек
- Добавление микросилики, скорость I, 60 сек
- Добавление песка, скорость I, 30 сек
- Добавление пластификатора, скорость II, 60 сек
- Добавление волокна, скорость I, 10 сек
- После гомогенизации волокна замес на скорости III в течение 15 сек.

Сразу после замеса определяли "оседание" раствора по DIN EN 1015-3. Краткое описание процедуры приведено в отчете по серии 0. Затем цементные системы заливались в формы. С одного замеса получали 3 образца на изгиб (призмы 160x40x40 мм, см. Рис.3). Образцы на изгиб использовались также для испытания на сжатие. После заполнения, формы отправлялись на виброусадку в течение 30 сек с частотой вибрации 50Гц. Дополнительно производился замер захваченного воздуха по DIN EN 12350 – Т7. Форма для определения воздуха проходила виброусадку по тому же режиму.

Образцы вынимались из форм через день после замеса и помещались на выдержку в воде при 20°C. Через 7 дней образцы вынимались из воды и помещались на хранение на воздухе при отн. влажности 65% до достижения возраста образцов 14 дней.

Как для базальтового волокна, так и для AR-стекловолокна было получено по 6 образцов на изгиб по каждому типу волокна.



Рис.1 Лабораторный смеситель от  
компании Hobart



Рис.2 Миксер и емкость смесителя  
Hobart



Рис.3 Форма и образец для  
испытаний на изгиб и сжатие

## **5. Оборудование для механических испытаний**

### **5.1 Испытание на изгиб**

Испытание на изгиб проводилось по трех-точечной схеме. Расстояние между опорами 100 мм. Точка приложения нагрузки посередине между опорами образца. Скорость испытания – 0,5 мм/мин. Контроль деформации производился по перемещению нижней поверхности образца. Измеряющий элемент находился в контакте с нижней поверхностью образца в его серединной части. При испытании записывались нагрузка, перемещение траверсы и прогиб срединной части образца. Записываемый прогиб образца содержит только упругую деформацию измеряющего элемента, сделанного из стали, и поэтому непосредственно отражает деформацию образца. Для исключения нелинейной деформации механических частей машины проводилось аппроксимационное сглаживание.

### **5.2 Испытание на сжатие**

Для испытания на сжатие использовались половинки образцов, испытанных на изгиб. Испытания проводились согласно DIN 18555-T3. При испытании не было непрерывной записи нагрузки и перемещения, фиксировалась только максимальная предельная нагрузка разрушения.

## **6. Результаты испытания цементных систем с базальтовым волокном и системы без волокна**

### **6.1 Свойства замесов, плотность затвердевших систем**

В Табл.3 приведены значения параметров "оседания" раствора, плотности затвердевших растворов и величина захваченного воздуха. На Рис.4-7 показаны "осевшие" образцы по каждому типу материала.

**Табл.3 Величина "оседания" раствора, плотность затвердевших растворов и количество захваченного воздуха.**

|   | М-KB05/1 | М-Б1.5 | М-KB12 | М-без вол. |
|---|----------|--------|--------|------------|
| <b>Величина "оседания", мм</b>                        |          |        |        |            |
| Тест 1  | 154      | 176    | 162    | 182        |
| Тест 2  | 157      | 174    | 158    | 179        |
| Среднее   | 156      | 175    | 160    | 181        |
| <b>Пористость, % (объемн.)</b>                        |          |        |        |            |
| Тест 1  | 12,5     | 13,6   | 9,1    | 4,4        |
| <b>Плотность затверд. растворов, г/см<sup>3</sup></b> |          |        |        |            |
| Среднее значение                                      | 1,96     | 1,94   | 2,03   | 2,17       |
| Стандартное отклонение                                | 0,017    | 0,016  | 0,015  | 0,011      |

В случае М-KB05/1 и М-KB12 "оседание" было близко к максимальному. Дальнейшее добавление пластификатора приводит к т.н. "истечению" раствора, когда происходит фазовое разделение частиц разного размера в результате избыточной пластификации. В случае Б1.5 возможно использование большего количества волокна для получения величины "оседания" в районе 150-160 мм.



*Рис.4 Тест на "оседание" системы с KB05/1*



*Рис.5 Тест на "оседание" системы с Б1.5*



Рис.6 Тест на "оседание" системы с KV12



Рис.7 Тест на "оседание" системы без волокна

Количество захваченного воздуха оказалось очень высокое, по сравнению со стандартными бетонными системами и по сравнению с референтной системой без волокна. В результате плотность затвердевших растворов, содержащих базальтовое волокно, было относительно низким, - приблизительно  $1,9 \text{ г}/\text{см}^3$ .

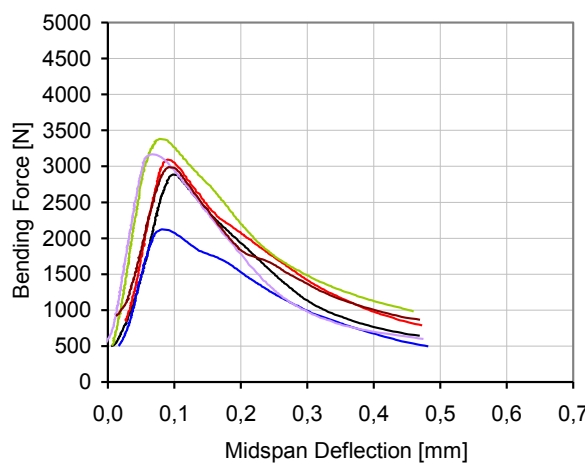
## 6.2 Испытание на изгиб

Результаты испытания приведены на Рис. 8-11. В Табл.4 приведены значения прочности при изгибе и предельной деформации по каждому типу образцов.

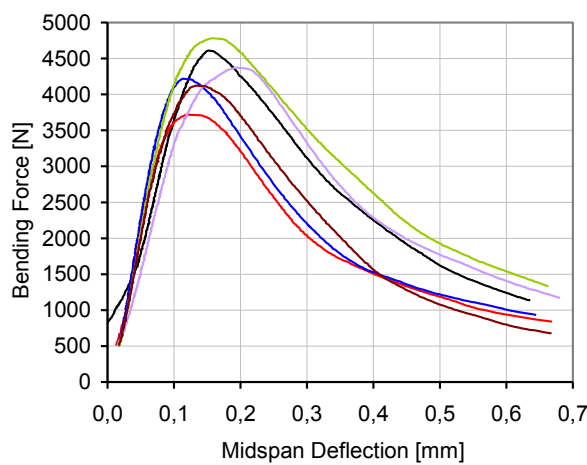
Из результатов видно, что все системы с базальтовым волокном показали более высокие значения прочности при изгибе, по сравнению с системой без волокна. Наиболее высокая прочность получена для системы M-B1.5, чуть ниже значения у систем M-KV12 и M-KV05/1.

Контроль деформации образца позволяет увидеть пластичное разрушение материала после возникновения трещины. Форма кривых после возникновения трещины различна: M-KV05/1 и M-B1.5 имеют "острый" пик в районе возникновения трещины, тогда как M-B1.5 имеет более пологую вершину кривой. В последнем случае это говорит о предпочтительном частичном отслоении волокна или о выползании волокна из матрицы при раскрытии и распространении трещины. Это одна из причин большой величины энергии разрушения системы M-B1.5. Другая причина, - это высокая прочность M-B1.5.

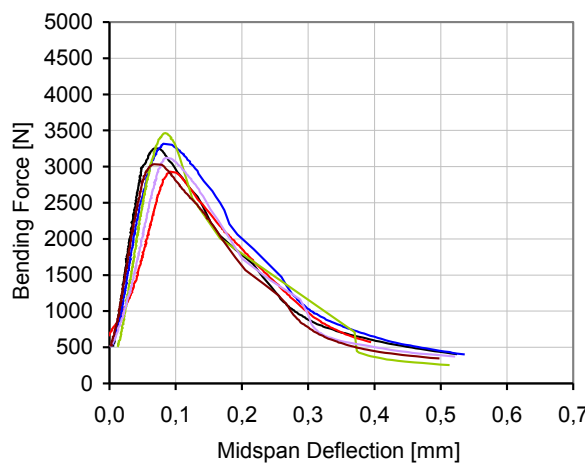
Для всех систем было отмечено формирование только одной трещины в срединной части образцов.



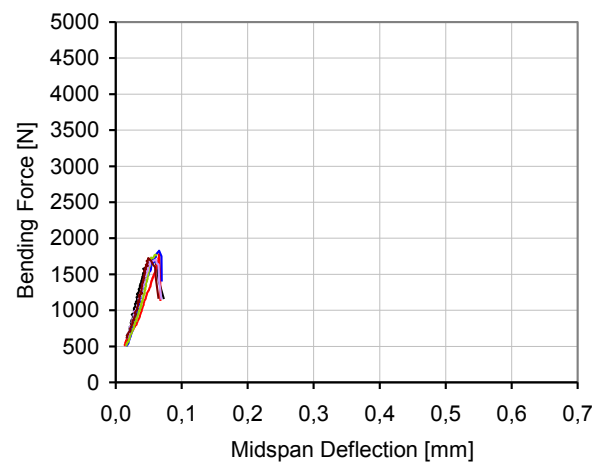
*Рис.8 Диаграммы изгиба образцов с KB05/1*



*Рис.9 Диаграммы изгиба образцов с B1.5*



*Рис.10 Диаграммы изгиба образцов с KB12*



*Рис.11 Диаграммы изгиба образцов без волокна*

*Табл.4 Прочность при изгибе (МПа) и предельный прогиб образца (мм)*

|                          | М-КВ05/1 | М-Б1.5 | М-КВ12 | М-без вол. |
|--------------------------|----------|--------|--------|------------|
| <b>Прочность</b>         |          |        |        |            |
| Образец 1                | 6,5      | 10,4   | 7,0    | 3,9        |
| Образец 2                | 4,8      | 8,2    | 6,3    | 4,0        |
| Образец 3                | 7,0      | 9,3    | 7,5    | 4,2        |
| Образец 4                | 7,5      | 10,7   | 7,8    | 4,1        |
| Образец 5                | 7,1      | 9,8    | 6,8    | 4,0        |
| Образец 6                | 6,6      | 9,2    | 6,9    | 4,1        |
| <i>Среднее</i>           | 6,6      | 9,6    | 7,1    | 4,0        |
| <i>Станд.отклон</i>      | 0,95     | 0,91   | 0,53   | 0,10       |
| <b>Предельный прогиб</b> |          |        |        |            |
| Образец 1                | 0,098    | 0,152  | 0,068  | 0,055      |
| Образец 2                | 0,081    | 0,118  | 0,092  | 0,066      |
| Образец 3                | 0,090    | 0,113  | 0,081  | 0,066      |
| Образец 4                | 0,077    | 0,157  | 0,084  | 0,060      |
| Образец 5                | 0,067    | 0,192  | 0,085  | 0,061      |
| Образец 6                | 0,091    | 0,134  | 0,067  | 0,049      |
| <i>Среднее</i>           | 0,084    | 0,144  | 0,080  | 0,059      |
| <i>Станд.отклон</i>      | 0,011    | 0,029  | 0,010  | 0,006      |

### **6.3 Испытание на сжатие**

Результаты испытаний на сжатие представлены в Табл.5. Разброс результатов небольшой. Образцы с КВ05/1 и КВ12 показали более высокую прочность, чем референтные образцы без волокна. Прочность образцов с Б1.5 была такая же как у референтных образцов.

*Табл.5 Прочность на сжатие (МПа)*

|                          | М-КВ05/1    | М-Б1.5      | М-КВ12      | М-без вол.  |
|--------------------------|-------------|-------------|-------------|-------------|
| Образец 1А <sup>1)</sup> | 46,9        | 36,9        | 44,4        | 40,6        |
| Образец 1Б <sup>1)</sup> | 49,4        | 35,0        | 43,8        | 40,0        |
| Образец 2А               | 48,8        | 38,1        | 42,5        | 38,8        |
| Образец 2Б               | 46,3        | 39,4        | 45,6        | 38,1        |
| Образец 3А               | 45,6        | 35,6        | 42,5        | 40,0        |
| Образец 3Б               | 46,9        | 37,5        | 44,4        | 38,8        |
| Образец 4А               | 48,1        | 36,3        | 45,0        | 38,1        |
| Образец 4Б               | 45,6        | 35,6        | 47,5        | 35,6        |
| Образец 5А               | 45,0        | 36,9        | 46,3        | 35,0        |
| Образец 5Б               | 46,3        | 38,8        | 42,5        | 40,6        |
| Образец 6А               | 48,8        | 38,1        | 45,0        | 41,3        |
| Образец 6Б               | 45,0        | 36,3        | 47,5        | 41,3        |
| <i>Среднее</i>           | <i>46,9</i> | <i>37,0</i> | <i>44,8</i> | <i>39,0</i> |
| <i>Станд.отклон</i>      | <i>1,54</i> | <i>1,37</i> | <i>1,78</i> | <i>2,07</i> |

<sup>1)</sup> – А и Б – обозначения двух половинок образца на изгиб

## **7. Результаты испытания цементных систем на основе AR-стекловолокна**

### **7.1 Свойства цементных растворов, плотность затвердевших растворов**

Значения "оседания" цементов и плотность затвердевших растворов на основе AR-стекловолокна приведены в Табл.6.

Величина "оседания" была не максимальной. Более высокое содержание пластификатора возможно для достижения более мягкой консистенции, или добавление одновременно некоторого количества волокна и пластификатора для достижения нужного значения "оседания". Количество AR-стекловолокна CF70-6 и CF62-6 было выбрано исходя из максимального объемного содержания базальтовых волокон и составляло 1,2% (об.).

*Табл.6 Величина "оседания" раствора, плотность затвердевших растворов для систем с AR-стекловолокном.*

|   | M-CF70     | M-CF62     |
|---|------------|------------|
| <b>Величина "оседания", мм</b>                            |            |            |
| Тест 1  | 171        | 178        |
| Тест 2  | 167        | 181        |
| <i>Среднее</i>  | <i>169</i> | <i>180</i> |
| <b>Плотность затверд.<br/>растворов, г/см<sup>3</sup></b> |            |            |
| Среднее значение  | 1,81       | 2,01       |
| Стандартное отклонение                                    | 0,014      | 0,007      |

## 7.2 Испытания на изгиб

Диаграммы испытания приведены на Рис.12 и 13. В Табл.7 приведены значения прочности и предельной деформации.

Системы с AR-стекловолокном показали довольно высокие разбросы значений, несмотря на хорошую перерабатываемость растворов (величина "оседания" 170 и 180 мм, см. Табл. 6). Исследованные системы показывают различное поведение в зоне пластичного разрушения после возникновения трещины. В случае М-CF70 дисперсные волокна показывают незначительное смягчение кривой после возникновения трещины (см. Рис. 12). Интегральные (склеенные) чопы в системе М-CF62 позволяют нагрузки возрастать даже после возникновения трещины (см. Рис. 13). В результате, прочность при изгибе системы М-CF62 оказывается заметно больше. Благодаря специфическому поведению волокон CF62 в связи со стягиванием стенок трещины, интегральные AR-стекловолокна показывают наиболее высокую энергию разрушения цементных систем.

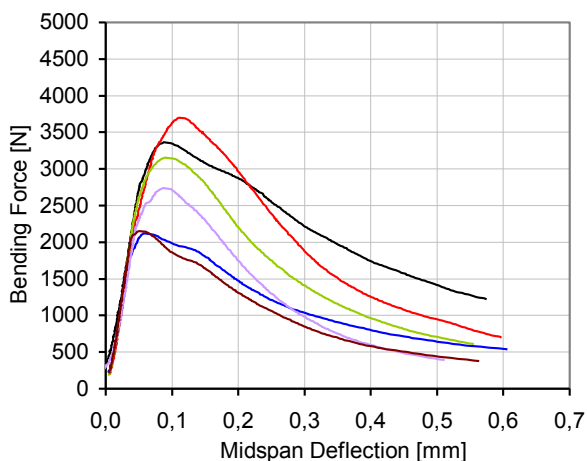


Рис.12 Диаграммы изгиба образцов с CF70

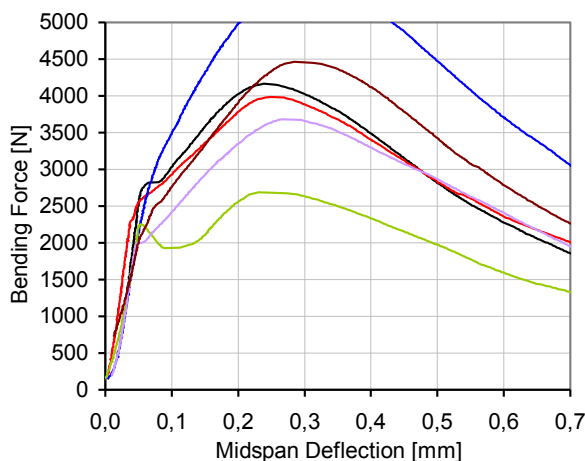


Рис.13 Диаграммы изгиба образцов с CF62

*Табл.7 Прочность при изгибе (МПа) и предельный прогиб образца (мм)*

|                          | M-CF70 | M-CF62 |
|--------------------------|--------|--------|
| <b>Прочность</b>         |        |        |
| Образец 1                | 7,9    | 9,7    |
| Образец 2                | 8,9    | 9,4    |
| Образец 3                | 5,0    | 12,7   |
| Образец 4                | 7,4    | 6,3    |
| Образец 5                | 6,4    | 8,6    |
| Образец 6                | 5,0    | 10,2   |
| <i>Среднее</i>           | 6,8    | 9,5    |
| <i>Станд.отклон</i>      | 1,59   | 2,09   |
| <b>Предельный прогиб</b> |        |        |
| Образец 1                | 0,087  | 0,238  |
| Образец 2                | 0,111  | 0,249  |
| Образец 3                | 0,057  | 0,270  |
| Образец 4                | 0,089  | 0,231  |
| Образец 5                | 0,087  | 0,266  |
| Образец 6                | 0,051  | 0,284  |
| <i>Среднее</i>           | 0,080  | 0,256  |
| <i>Станд.отклон</i>      | 0,022  | 0,020  |

### **7.3 Испытание на сжатие**

Результаты испытания на сжатие систем с AR-стекловолокном приведены в Табл.8. Разброс данных небольшой. Система с CF70 показала более низкие значения, чем система с CF62. Средняя прочность на сжатие образцов с AR-стекловолокном оказалась ниже, чем прочность образцов без волокна (см. Табл. 5).

*Табл.8 Прочность на сжатие (МПа) – партия 2*

|                          | M-CF70      | M-CF62      |
|--------------------------|-------------|-------------|
| Образец 1А <sup>1)</sup> | 24,8        | 35,3        |
| Образец 1Б <sup>1)</sup> | 31,0        | 34,0        |
| Образец 2А               | 31,0        | 34,4        |
| Образец 2Б               | 31,8        | 36,3        |
| Образец 3А               | 30,0        | 38,0        |
| Образец 3Б               | 29,4        | 38,0        |
| Образец 4А               | 29,0        | 35,6        |
| Образец 4Б               | 29,7        | 35,6        |
| Образец 5А               | 30,0        | 35,4        |
| Образец 5Б               | 30,6        | 34,8        |
| Образец 6А               | 29,8        | 35,0        |
| Образец 6Б               | 29,8        | 35,6        |
| <i>Среднее</i>           | <i>29,8</i> | <i>35,7</i> |
| <i>Станд.отклон</i>      | <i>1,75</i> | <i>1,25</i> |

<sup>1)</sup> – А и Б – обозначения двух половинок образца на изгиб

## **8. Общие комментарии**

Все механические испытания проедены на системах возрастом 14 дней. Использованный состав связующего имеет довольно медленную скорость отверждения. Это вызвано применением цемента марки СЕМ III, в котором используется измельченный шлак доменных печей и который снижает скорость гидратации цемента. Продолжение гидратации повлияет на морфологию границы раздела между волокном и цементом. При более зрелом возрасте цементных систем можно ожидать повышение прочности и более хрупкое поведение материалов после трещины. Помимо этого, щелочестойкость волокна и влияние замасливателя также могут сказаться при более длительной выдержке цементной системы и изменить картину, полученную для 14 дней выдержки.

Table 9: Сравнение результатов по склеенным (интегральным) волокнам.

|                           | M-CF62 | M-B1.5 | Разница |
|---------------------------|--------|--------|---------|
| Прочность при изгибе, МПа | 9.5    | 9.6    | +1%     |
| Ст.откл., МПа             | 2.09   | 0.91   |         |
| Прочность при сжатии, МПа | 35.7   | 37.0   | +4%     |
| Ст.откл., МПа             | 1.25   | 1.37   |         |

Table 10: Сравнение результатов по хорошо диспергируемым волокнам.

|                           | M-CF70 | M-KV05 | Разница | M-KV12 | Разница |
|---------------------------|--------|--------|---------|--------|---------|
| Прочность при изгибе, МПа | 6.8    | 6.6    | -3%     | 7.1    | +4%     |
| Ст.откл., МПа             | 1.6    | 0.95   |         | 0.53   |         |
| Прочность при сжатии, МПа | 29.8   | 46.9   | +57%    | 44.8   | +50%    |
| Ст.откл., МПа             | 1.75   | 1.54   |         | 1.78   |         |

## 9. Обсуждение результатов

В целом, как волокно Cem-FIL, так и Basfiber показали ожидаемый характер поведения. Существует два основных применения волоконно-армированных бетонов:

1. Повышение механических свойств
2. Предотвращение растрескивания бетона

В первом случае используются склеенные (интегральные) волокна, такие как Cem-FIL 62 или Basfiber B1.5. Результаты испытания этих волокон показывают пластичный характер разрушения бетона при испытании на изгиб и высокие значения энергии деформации.

Второе применение требует использования хорошо диспергируемых волокон, таких как Cem-FIL 70/30 или Basfiber KV05, KV12. Эти волокна так же демонстрируют повышение пластичности бетонов, но в меньшей степени. Они добавляются в замес в меньшем количестве и служат только как вторичный армирующий элемент при наличии первичного армирования, такого как, например, стальная или пластиковая арматура.

Сравнение результатов, полученных для одинаковых типов волокна, приведено в Табл. 9 и Табл. 10. Можно отметить, что результаты испытания базальтовых и AR-стеклянных волокон более-менее идентичны. Наиболее заметное преимущество базальтовых волокон было получено при испытании на сжатие для хорошо диспергируемых волокон (KV05 и KV12). Однако, повышение достаточно высокой прочности на сжатие ненаполненного бетона не является задачей волоконного армирования и, таким образом, не может рассматриваться как важное преимущество.

## 10. Заключение

На основании проведенного исследования можно заключить, что базальтовые волокна Basfiber могут быть использованы для армирования

бетонов, - склеенные (интегральные) волокна Б1.5 в тех же применениях, что волокно Сем-FIL 62 и хорошо диспергируемые волокна KB05 и KB12 в тех же применениях, что волокно Сем-FIL 70.

## **Конец отчета**

Отчет содержит 14 страниц

Подпись редактора

Marko Butler

